

УДК 677.057.001

## ИССЛЕДОВАНИЕ ВЛИЯНИЯ ПАРАМЕТРОВ ВАЛКОВОГО МОДУЛЯ НА ДЕФОРМАЦИОННУЮ ХАРАКТЕРИСТИКУ ПОКРЫТИЯ ВАЛА

*A.V. ПОДЬЯЧЕВ*

(Костромской государственный технологический университет)

Сближение валов под нагрузкой является одним из важнейших параметров для моделирования процесса отжима ткани и проектирования валковых модулей. Характер деформационной зависимости предложен в [1]. Реальные коэффициенты для нее могут быть получены либо экспериментально, либо с помощью математического моделирования контактного взаимодействия (задача решена в [2] для пары металлический вал – обрезиненный вал без наличия жидкости в жале валов).

Наличие натурного стенда [3] определило направление исследований – экспериментальное. Главной задачей данных исследований является построение зависимостей для коэффициентов деформационного уравнения сложного упругого слоя от параметров технологического процесса – скорости  $V$  проводки ткани; рабочей температуры  $t^\circ$ ; приведенного диаметра  $D_{\text{пр}}$  комплексного параметра ткани  $K_{\text{пт}}$ .

Такая задача появилась после простых исследований по измерению ширины площадки контакта в валковой паре. При кажущейся простоте процесса возникли проблемы с достоверностью результатов испытаний при размещении в жале валов копировальной бумаги, что связано с изменением коэффициента трения между валами. Также были отмечены различные деформационные характеристики эластичного покрытия вала в зависимости от влажности покрытия и насыщенности влагой самого покрытия вала. Результаты этих исследований представлены в табл. 1.

Таблица 1.

№	Внутреннее состояние покрытия	Жидкость в жале	Условная деформация покрытия
1	Сухое	Есть	3,5
2	Влажное	Есть	1,75
3	Сухое	Нет	1,4
4	Влажное	Нет	1

Более подробно эта зависимость не изучалась.

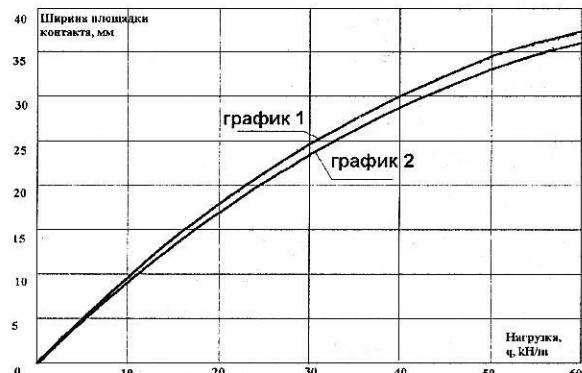


Рис. 1

На рис. 1 представлены зависимости изменения ширины площадки контакта от нагрузки: график 1 – жидкость в жале; график 2 – в жале копировальная бумага.

Для получения графика 2 ширину площадки контакта измеряли непосредственно по отпечатку на копировальной бумаге. Для получения графика 1 ширину площадки контакта получали, замеряя расстояние между выступающими краями двух тонких (0,1 мм) пластин, подведенных с разных

сторон жала до упора.

Проведение подобных испытаний в статике с тканями льняной группы, различающимися комплексным параметром ткани [4], также дало изменение деформационной характеристики покрытия.

Далее было решено проверить степень влияния температуры на деформируемость резинового покрытия, то есть определить динамический модуль упругости [5]. Вы-

бор данного стандарта обусловлен тем, что он предусматривает определение значения модуля Юнга при взаимодействии врачающегося кольцевого резинового образца и прижатого к нему жесткого, свободно вращающегося ролика. Такие условия проведения испытаний хорошо имитируют условия работы покрытия реального отжимного вала.

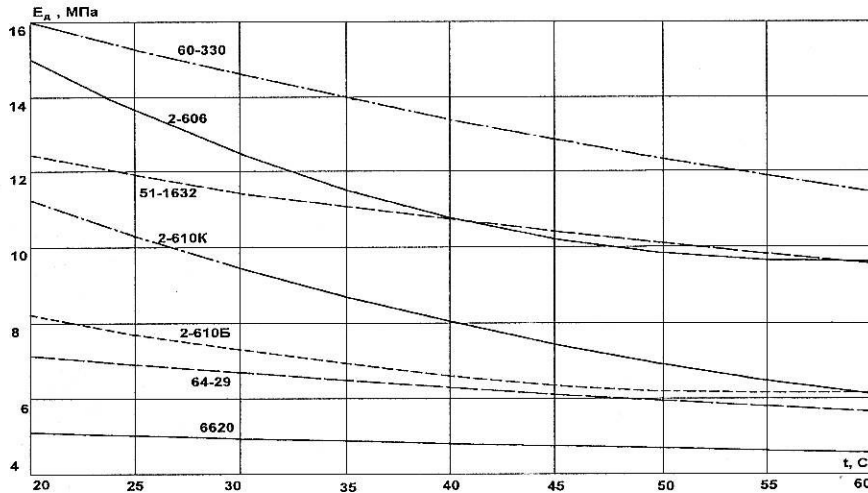


Рис. 2

По результатам испытаний построены графики зависимости динамического модуля образцов резин от температуры. Так, на рис. 2 представлены зависимости динамических модулей упругости образцов резин в диапазоне температур от 20 до 60°C. Ограничение верхнего предела температуры связано с техническими характеристиками резин.

#### Коэффициенты полинома

$$E_d = a_1 + a_2 t + a_3 t^2, \quad (1)$$

где  $E_d$  – динамический модуль упругости;  $t$  – температура, описывающая зависимость динамического модуля от температуры, приведены в табл. 2.

Таблица 2

Резиновое покрытие	Коэффициенты		
	$a_1$	$a_2$	$a_3$
6620	5,490	-0,0195	0,00005
2-610Б	11,680	-0,19986	0,00117857
6429	8,156	-0,0554	0,00020
2-610К	15,772	-0,2607	0,00165
2-606	22,42	-0,44929	0,0039286
51-1632	14,026	-0,097243	0,00036429
60-330	19,198	-0,17686	0,00078571

Результаты расчетов свидетельствуют о существенном уменьшении значений динамического модуля Юнга при повышении температуры с 20 до 60°C.

Для оценки влияния частоты циклического нагружения на прогиб (деформацию) образца число оборотов вала варьировалось от 40 до 2300 об/мин. Полученные

данные свидетельствуют о том, что динамический прогиб составляет 75...90% от

статического и уменьшается с ростом частоты нагружения.

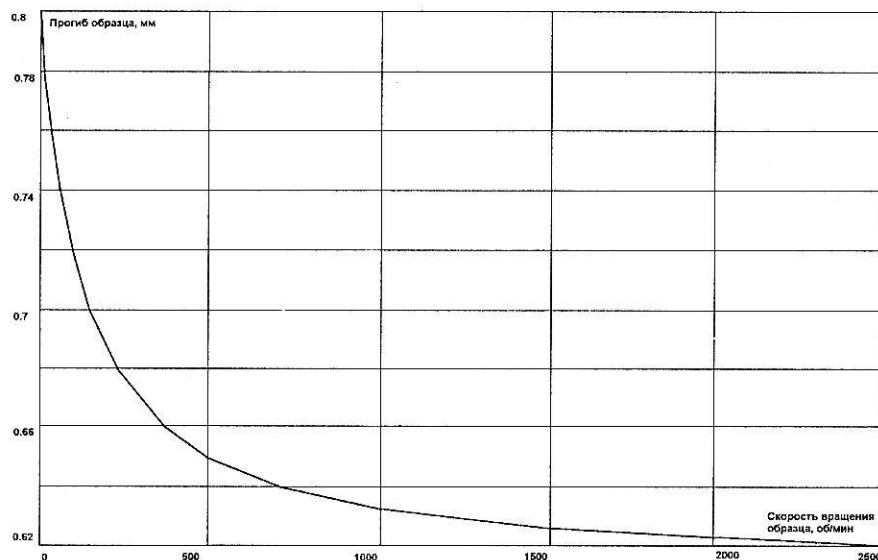


Рис. 3

На рис. 3 представлена аппроксимация экспериментальных значений прогиба для резины 2-606 при температуре 53°C. Выбор данной резины связан с тем, что она обладает близкими характеристиками к резине натурного образца.

Температура 53°C получалась путем саморазогрева резины при проведении испытаний. Скоростной режим экспериментов принят 80 об/мин, как наиболее близкий к основным технологическим процессам отделки тканей.

## ВЫВОДЫ

1. Динамический модуль упругости первого рода резины уменьшается с повышением температуры.

2. Деформация резинового покрытия валов снижается с увеличением частоты вращения.

## ЛИТЕРАТУРА

1. Зельдин Ю.Р. Исследование распределения нагрузки по ширине полотна в жалах отжимных устройств и каландров: Дис. ... канд.техн.наук. – Иваново, 1969.
2. Румянцев А.А. Теория и метод построения численных квазистатических и квазиплоских моделей силовых взаимодействий в валковых механизмах текстильных машин: Дис. ...докт. техн. наук. – М., 1987.
3. Мартишенко В.А., Волков А.М., Грошиевик Е.А., Подъячев А.В. // Текстильная промышленность. – 1994, № 11, 12.

Рекомендована кафедрой теоретической механики и сопротивления материалов. Поступила 24.06.05.